

AULA 13

$$\frac{d\sigma}{d\Omega} = |f(\theta)|^2$$

$$\sigma_{\text{total}} = \int d\Omega |f(\theta)|^2$$

$$= \frac{2\pi}{k^2} \int_{-1}^1 d(\cos\theta) \sum_e \sum_{e'} (2l+1)(2l'+1) e^{i\delta_e} e^{-i\delta_{e'}} \text{sense } P_l P_{l'}$$

$$= \frac{2\pi}{k^2} \sum_{e, e'} (2l+1)(2l'+1) e^{i\delta_e - i\delta_{e'}} \text{sense } \underbrace{\int_{-1}^1 dx P_l(x) P_{l'}(x)}_{\frac{2 \delta_{e, e'}}{2l+1}}$$

$$= \frac{2\pi}{k^2} \sum_e 2(2l+1) \text{sense}^2 e^{i\delta_e} = \frac{4\pi}{k^2} \sum_e (2l+1) \text{sense}^2 e$$

Como fica o teorema ótico

$$\text{Im } f(\theta=0) = \frac{k \sigma_{\text{tot}}}{4\pi} = \frac{1}{k} \sum_e (2l+1) \text{sense}^2 e$$

↓

$$\frac{1}{k} \sum_e (2l+1) \underbrace{\text{Im } e^{i\delta_e}}_{\text{sense}} \underbrace{\text{sense } P_l(\cos\theta=1)}_1$$

$$= \frac{1}{k} \sum_e (2l+1) \text{sense}^2 e$$

de volta |p| relação entre f_e e δ_e

qdo mudamos a energia δ_e muda, e por consequente muda f_e .

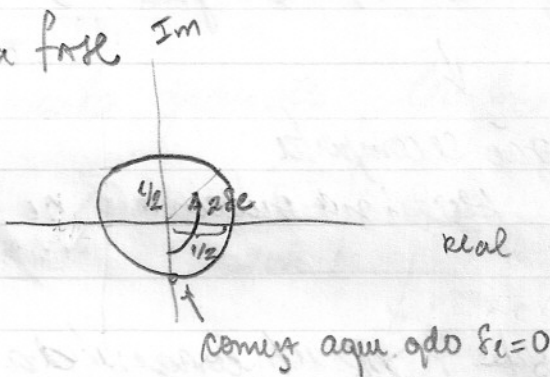
f_e , entretanto, não muda de \forall maneira,

$$f_e = \frac{2i\delta_e}{e^{-1} - 1}$$

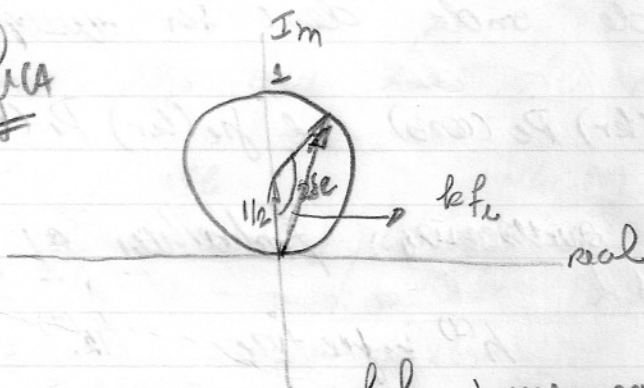
$$k f_e = -i \frac{e^{2i\delta_e}}{2} + \frac{i}{2}$$

Dependências com a fase

$$-\frac{i}{2} e^{2i\delta_e}$$



Assim a ponta fica



$k f_e$ fica para sobre a circunferência

se $\delta_e \ll 1 \rightarrow k f_e$ fica na parte de baixo do círculo e é quase real

$k f_e$ é máximo qdo $2\delta_e = \pi \therefore \delta_e = \pi/2$ (lembra que $\sigma_{total} = 4\pi \sum \frac{(2l+1)}{k^2} \sin^2 \delta_l$)

Determinação dos deslocamentos de fase

Suponha $V(r) = 0$ se $r > R$

↓
alcança

p/ $r > R$ a função de onda é uma combinação de ondas esféricas

Lembra que a solução da equação de Schrödinger dá $h_e(r)$ e $h_o(r)$

↓
não se comporta
bem na origem

assim p/ $r > R$ (longe da origem), a função de onda deve ser uma combinação de $h_e(r) P_e(\cos\theta)$ e $h_o(r) P_o(\cos\theta)$

ou se quisermos trabalhar as funções de Hankel

$$h^{(1)} = j_0 + i n_c \quad h^{(2)} = j_0 - i n_c$$

$$\lim_{r \rightarrow \text{grande}} h^{(1)} = \frac{e^{i(kr - \pi/2)}}{kr} \quad \lim_{r \rightarrow \text{grande}} h^{(2)} = \frac{-e^{-i(kr - \pi/2)}}{kr}$$

Assim a função de onda pode ser escrita como

$$\langle x | \psi^{(+)} \rangle = \frac{1}{(2\pi)^{3/2}} \sum_l i^l (2l+1) A_l(r) P_l(\cos\theta) \quad |r\rangle R$$

onde $A_l = C_l^{(1)} h_l^{(1)}(kr) + C_l^{(2)} h_l^{(2)}(kr)$

onde os coeficientes que multiplicam A_l são escolhidos de tal forma que se $V=0$

$A_l(r)$ fica $j_l(kr)$ em todos os pontos

$|r\rangle R$ e r muito grande, lembre que

$$\langle x | \psi^{(+)} \rangle = \frac{1}{(2\pi)^{3/2}} \sum_l (2l+1) \frac{P_l}{2ik} \left[\begin{array}{c} e^{i(kr - l\pi)} \\ \frac{S_l e}{r} - \frac{e}{r} \end{array} \right]$$

↓
2iSe
e

comparando com eq. que tem A_l isto é

$$\begin{aligned} \langle x | \psi^{(+)} \rangle &= \frac{1}{(2\pi)^{3/2}} \sum_l e^{i\frac{l\pi}{2}} (2l+1) \left[C_l^{(1)} \frac{e^{i(kr - l\pi/2)}}{r} - C_l^{(2)} \frac{e^{-i(kr - l\pi/2)}}{r} \right] P_l(\cos\theta) \\ &= \frac{1}{(2\pi)^{3/2}} \sum_l (2l+1) \frac{P_l}{2ik} \left[2C_l^{(1)} \frac{e^{i(kr - l\pi/2)}}{r} - 2C_l^{(2)} \frac{e^{-i(kr - l\pi/2)}}{r} \right] \end{aligned}$$

comparação direta de

$$\therefore C_l^{(1)} = \frac{1}{2} S_l = \frac{1}{2} e^{i\frac{l\pi}{2}} \quad \text{e} \quad C_l^{(2)} = +\frac{1}{2}$$

Assum $\rho | r > R$

$$Ae(r) = \frac{1}{2} e^{i28c} h e^{(1)} + \frac{1}{2} h e^{(2)}$$

$$= e^{i8c} \left(\frac{e^{i8c} h e^{(1)} + e^{-i8c} h e^{(2)}}{2} \right)$$

$$= e^{i8c} \left(\frac{e^{i8c} (j e + i n e) + e^{-i8c} (j e - i n e)}{2} \right)$$

$$= e^{i8c} \left(\frac{e^{i8c} + e^{-i8c}}{2} j e + i \frac{e^{i8c} - e^{-i8c}}{2} n e \right)$$

$$= e^{i8c} \left(\cos 8c j e - \sin 8c n e \right)$$

A partir disto podemos calcular

$$\beta_e \equiv \left(\frac{r}{Ae} \frac{dAe}{dr} \right)_{r=R}$$

$$= kR \left[\frac{j'(kr) \cos 8c - n'(kr) \sin 8c}{j_e(kR) \cos 8c - n_e(kR) \sin 8c} \right]$$

onde j' é derivada j respeito a kr

Se aprendermos como obter β_e , podemos inverter esta equação

$$\frac{\beta_e}{kR} (\eta_e \cos \delta_e - \eta_i \sin \delta_e) = \eta_i' \cos \delta_e - \eta_e' \sin \delta_e$$

$$\left(\frac{\beta_e \eta_e - \eta_i' \right) \cos \delta_e = \left(\frac{\beta_e \eta_e - \eta_e' \right) \sin \delta_e$$

$$\tan \delta_e = \frac{kR \eta_i'(kR) - \beta_e \eta_e(kR)}{kR \eta_e(kR) - \beta_e \eta_e(kR)}$$

assim se acharmos β_e , teremos achado δ_e

pl determinar β_e precisamos resolver a equação de Schrodinger na região do potencial

$$\frac{d^2 u_e}{dr^2} + \left(k^2 - \frac{2mV}{\hbar^2} - \frac{l(l+1)}{r^2} \right) u_e = 0$$

onde $u_e = rA_e(r)$ e $\boxed{u_e|_{r=0} = 0}$

integre esta equação até $r=R$

calcule β_e e iguale a β_e

solução interna
↑
isto é um mínimo

solução externa

e pl isto ache $\tan \delta_e$

Espalhamento da Esfera dura

$$V = \begin{cases} \infty & \text{pl } r < R \\ 0 & \text{pl } r > R \end{cases}$$

Como a esfera é impenetrável a função de onda precisa se anular em $r=R$

isto se consegue pl achar se (não é possível calcular neste caso)

$$Ae(r) \Big|_{r=R} = 0 = e^{i\delta} [\cos \delta e^{i\eta(kR)} - \sin \delta e^{-i\eta(kR)}]$$

$$\rightarrow \tan \delta = \frac{\eta(kR)}{n_0(kR)}$$

$$\text{pl } \delta=0 \quad f_0(kR) = \frac{\sin kR}{kR} \quad \text{e} \quad \eta_0(kR) = -\frac{\cos kR}{kR}$$

$$\therefore \tan \delta_0 = -\tan kR \quad \delta_0 = -kR$$

$$\delta_0 = -kR$$

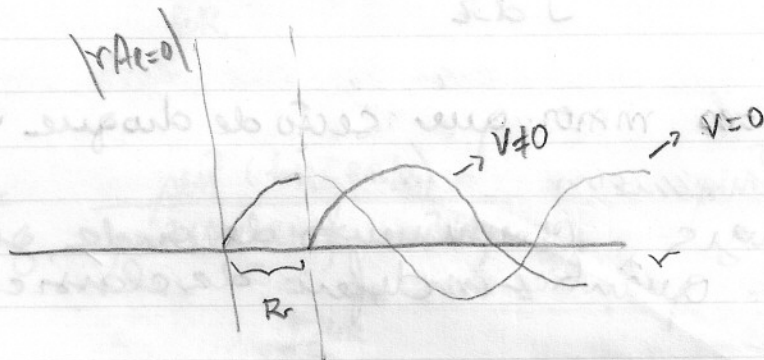
A parte radial de função de onda varia da seguinte forma

$$Ae(kr) = e^{i\delta_0} \frac{\cos \delta_0 \sin kr}{kr} + \frac{\sin \delta_0 \cos kr}{kr}$$

$$= e^{i\delta_0} \frac{\sin(kr + \delta_0)}{kr} = e^{i\delta_0} \frac{\sin(kr - R_0)}{kr}$$

se não houver V

$$A_0(kr) \text{ para } \gamma_0(kr) = \frac{\text{sen } kr}{kr}$$



Estudamos tanto pl altas e baixas energias

$$\begin{array}{cc} \downarrow & \downarrow \\ kR \gg 1 & kR \ll 1 \end{array}$$

Baixa energia

$$kr \ll 1 \quad j_l(kr) = \frac{(kr)^l}{(2l+1)!!} \quad n_l(kr) = -\frac{(2l-1)!!}{(kr)^{l+1}}$$

$$\text{Assim } \tan \delta_l = -\frac{(kr)^{2l+1}}{(2l+1)!! (2l-1)!!}$$

pl $l=0$ $\tan \delta_0 = -\underbrace{kr}_{\text{pequeno}} \approx \delta_0$ (mesmo resultado que antes - que era exato)

e' justo jogar fora $l > 0$ pois $kr \ll 1$ e $\tan \delta_l \approx \delta_l \approx (kr)^{2l+1}$

$$\text{se } \delta_0 = -kr$$

$$\frac{d\sigma}{d\Omega} = |f(\theta)|^2 \quad f(\theta) = \frac{1}{kr} \sum_l (2l+1) e^{i\delta_l} \text{ sen } \delta_l P_l(\cos \theta)$$

$$= \frac{1}{kr} e^{i\delta_0} \text{ sen } \delta_0$$

$$\therefore \frac{d\sigma}{dR} = \frac{\sin^2 \delta_0}{k^2} \approx \frac{k^2 R^2}{k^2} = R^2 \quad \text{p/ } kR \ll 1$$

$$\sigma_{\text{total}} = \int \frac{d\sigma}{dR} dR = 4\pi R^2$$

é 4 vezes maior que seção de choque geométrica
 baixa energia comprimento de onda grande,
 mecânica quântica difere da clássica

Sera que p/ altas energias temos $\sigma_{\text{tot}} = \pi R^2$

↓
 vamos lá até $\approx kR$

$$\sigma_{\text{total}} = \frac{4\pi}{k^2} \sum_{l=0}^{l=kR} (2l+1) \sin^2 \delta_l$$

considerando

$$\sin^2 \delta_l = \frac{\tan^2 \delta_l}{1 + \tan^2 \delta_l}$$

e lembrando que $\tan \delta_l = \frac{j_l(kR)}{n_l(kR)}$

temos

$$\sin^2 \delta_l = \frac{j_l^2(kR)}{j_l^2(kR) + n_l^2(kR)} \quad \text{agora p/ } kR \gg 1$$

$$\eta_e(kR) = \frac{1}{kR} \sin(kR - l\pi/2)$$

$$\eta_l(kR) = \frac{-1}{kR} \cos(kR - l\pi/2)$$

$$\mu_n^2 \eta_e = \frac{\mu_n^2 (kR - l\pi/2)}{\mu_n^2 (kR - l\pi/2) + \cos^2(kR - l\pi/2)} = \mu_n^2 (kR - l\pi/2)$$

$$\sigma_{total} = \frac{A\pi}{k^2} \sum_{l=0}^{l=kR} (2l+1) \mu_n^2 \eta_e$$

pegue 2 termos l e l' $l' = l+1$

$$(2(l+1)+1) \mu_n^2 \eta_{e,l+1} + (2l+1) \mu_n^2 \eta_{e,l}$$

$$= (2l+1) (\underbrace{\mu_n^2 \eta_{e,l+1} + \mu_n^2 \eta_{e,l}}_1) + \underbrace{2 \mu_n^2 \eta_{e,l+1}}_{< 1}$$

$$\sigma_{total} = \frac{A\pi}{k^2} \sum_{l=0}^{l=kR} (2l+1) + \sum_{l=0}^{l=kR} 2 \mu_n^2 \eta_{e,l+1}$$

de zero 2

parte van de kR

numero de termos \times valor medio

$$\frac{kR}{2} \times \frac{1 + 2kR + 1}{2}$$

$$\approx \frac{(kR)^2}{2}$$

os termos em kR jogamos fora

$$\text{Assim } \sigma_{total} = 2\pi R^2 \quad !!$$